

# DETECÇÃO DE SINGULARIDADES E COMPRESSÃO DE DADOS USANDO ANÁLISE DE MULTIRRESOLUÇÃO

Magda K. Kaibara, Sônia Maria Gomes e Margarete O. Domingues

FC/UNESP–Bauru, IMECC/UNICAMP, CPTEC/INPE

# Sumário

## Resumo

### AMR Interpolante 1D

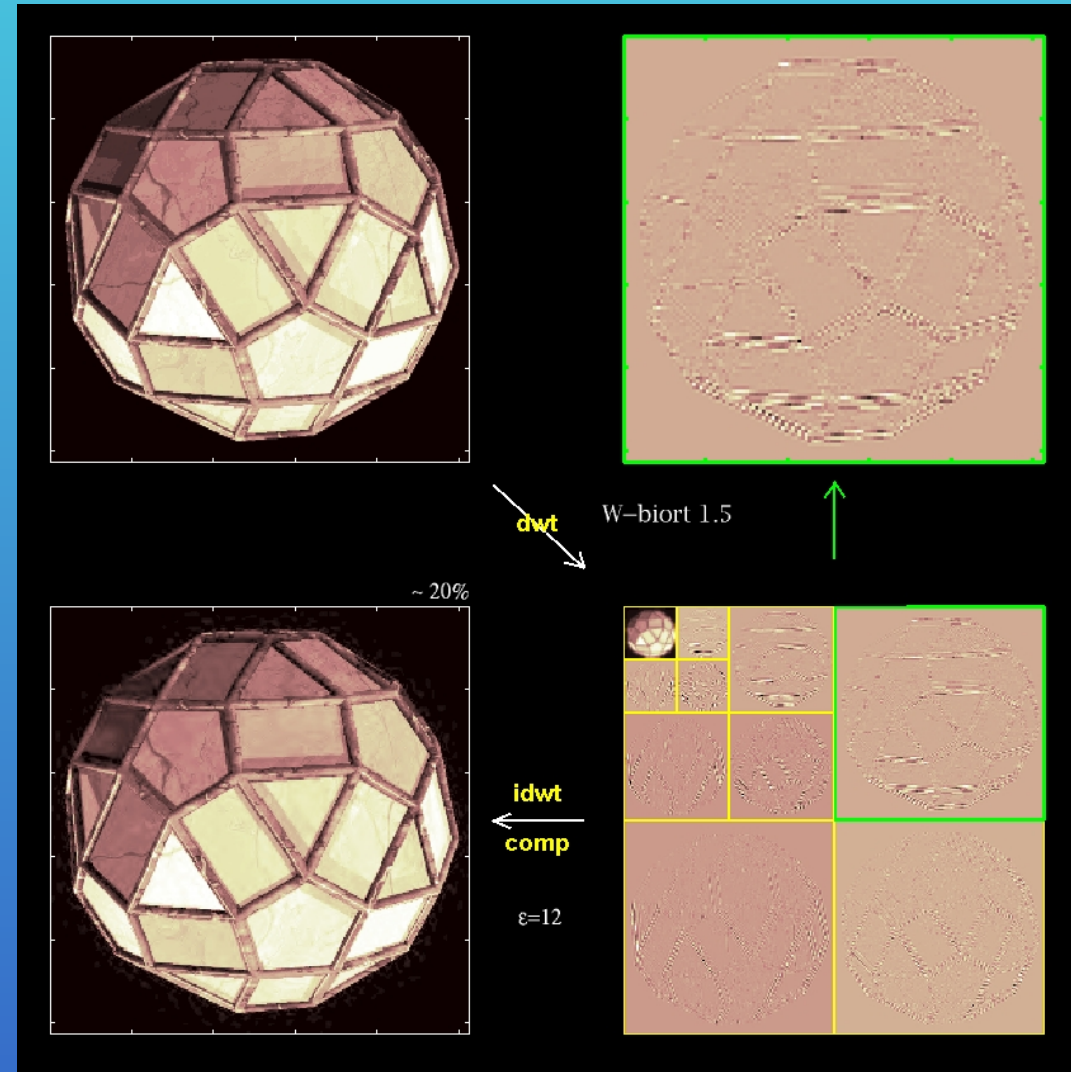
- ➊ Aspecto Discreto
  - ➌ Esquema de Refinamento Interpolante.
  - ➌ Detecção de Singularidades.
  - ➌ Compressão de Dados: Redução de Malhas.
  - ➌ Estabilidade.
- ➋ Aspecto Funcional

### AMR Interpolante 2D

- ➋ Detecção de Singularidades.
- ➋ Compressão de Dados: Redução de Malhas.
- ➋ Malhas Regulares por Blocos

# Resumo

# Exemplo: Análise de Multirresolução-AMR



# AMR para valores pontuais

- ➊ Principal Ingrediente:

$P_\ell^{\ell+1}$  operador de refinamento interpolante  
( permite prever os valores de  $f$  no nível  $\ell + 1$  a partir de informações do nível inferior  $\ell$ )

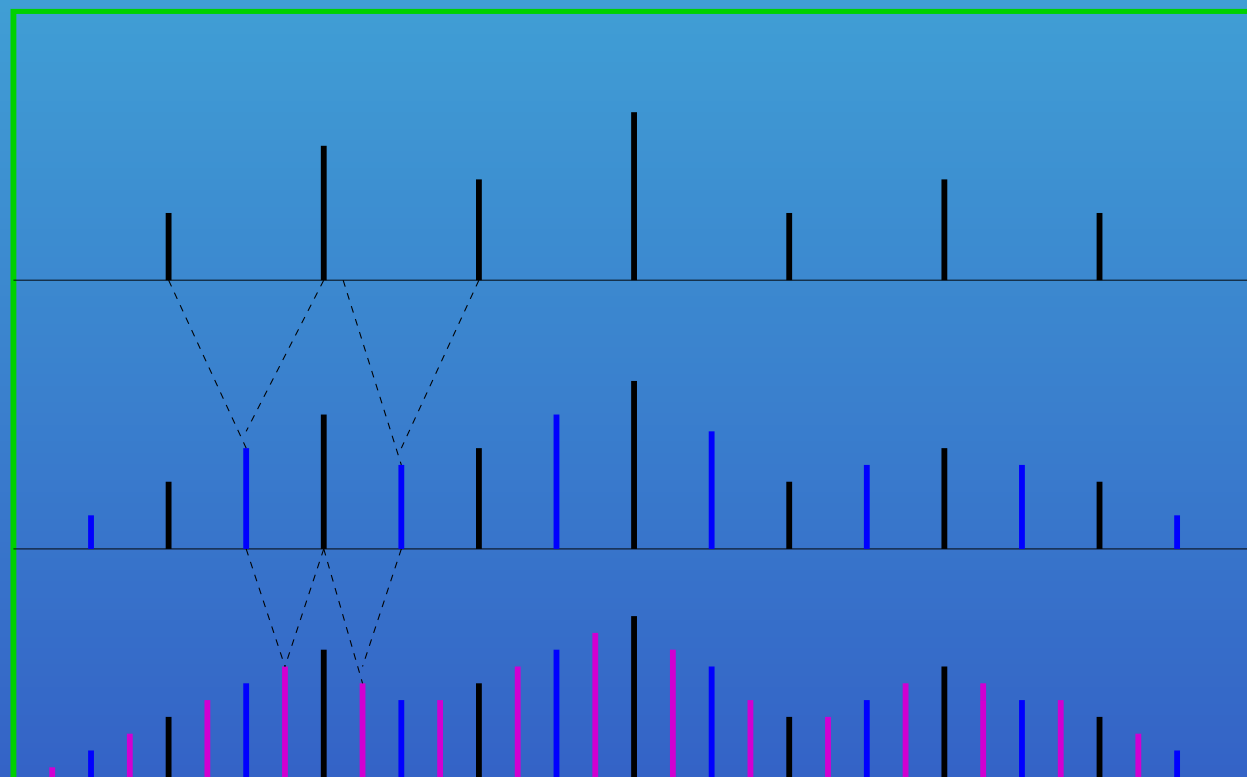
$$\tilde{f}_{2k-1}^{\ell+1} = [P_\ell^{\ell+1} f^\ell](2k - 1)$$

- ➋ Coeficientes wavelet

$$d_k^\ell = f_{2k-1}^{\ell+1} - \tilde{f}_{2k-1}^{\ell+1}$$

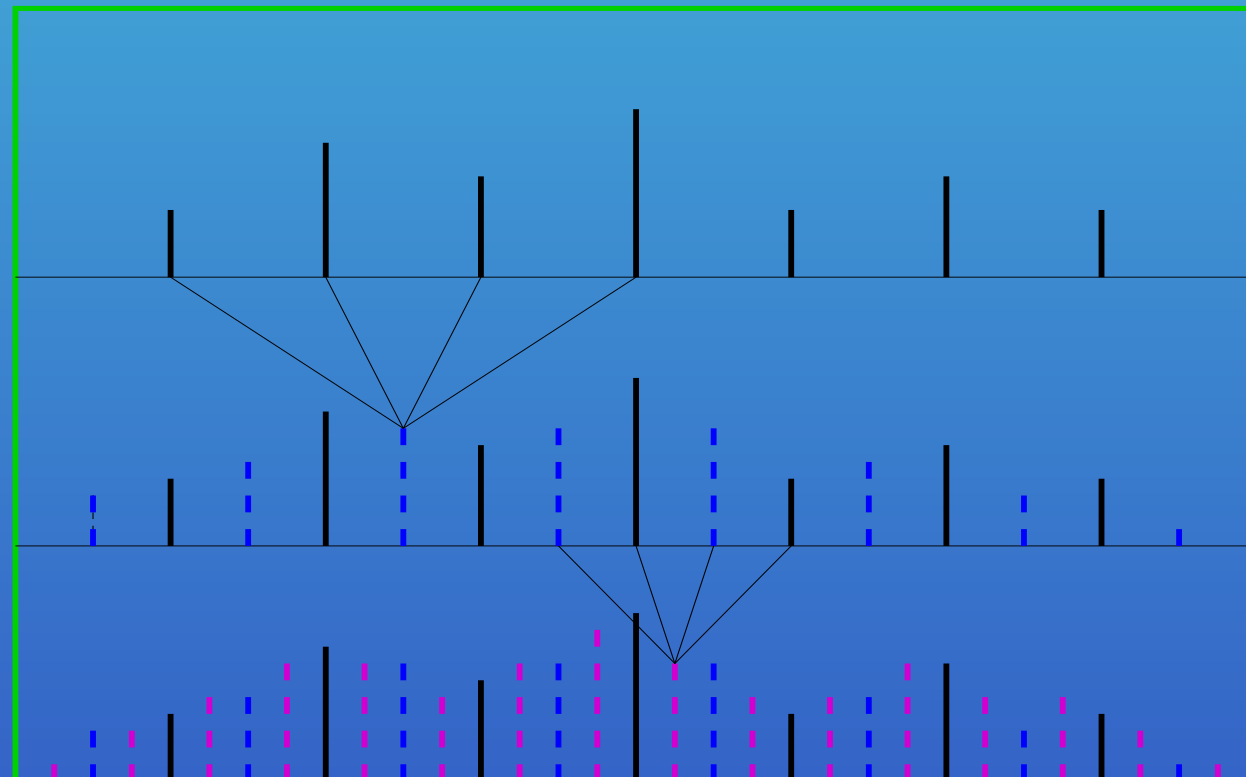
# Exemplo: Interpolação linear

$$s^{\ell+1}(2k-1) = \frac{s^\ell(k-1) + s^\ell(k)}{2} = \tilde{f}_{2k-1}^{\ell+1}$$



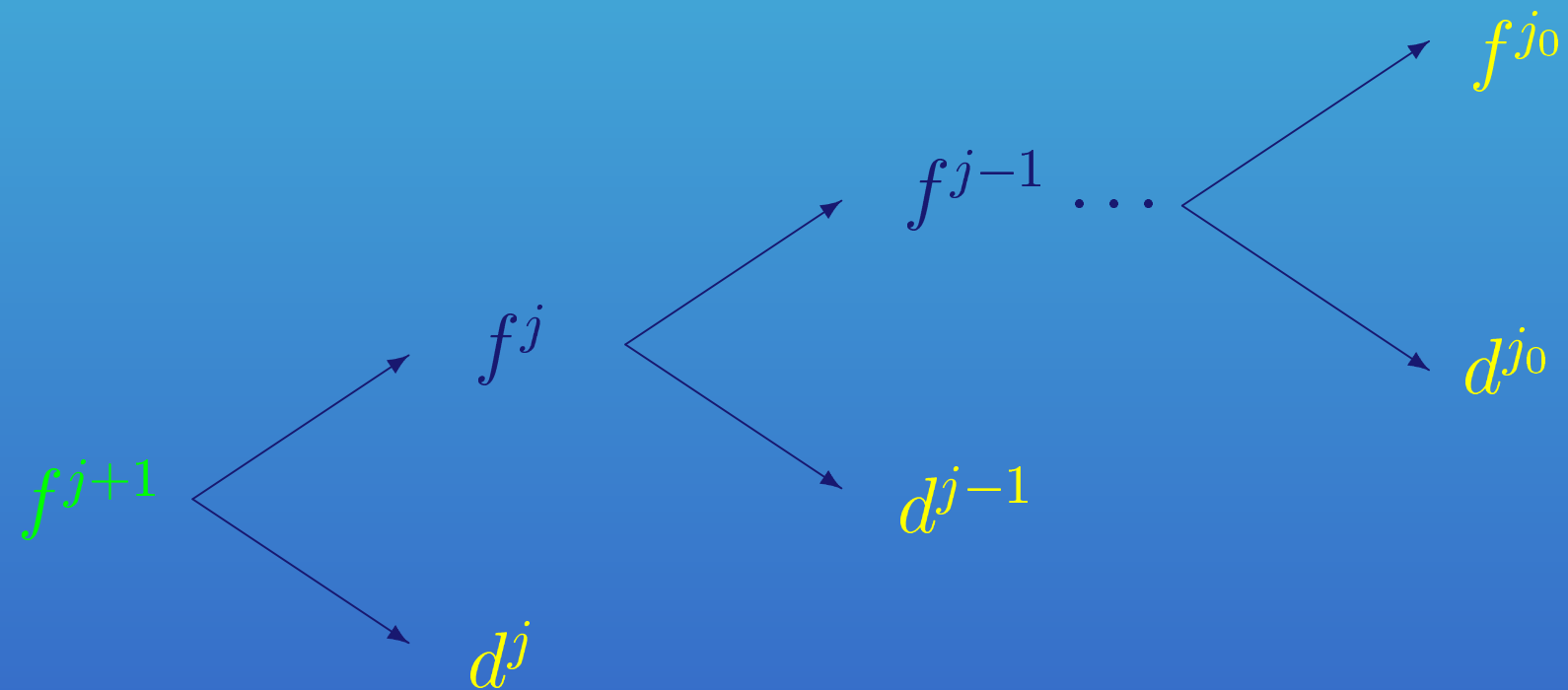
# Exemplo: Interpolação Cúbica

$$\tilde{f}_{2k-1}^{\ell+1} = \frac{9}{16} [s^\ell(k) + s^\ell(k-1)] - \frac{1}{16} [s^\ell(k+1) + s^\ell(k-2)]$$



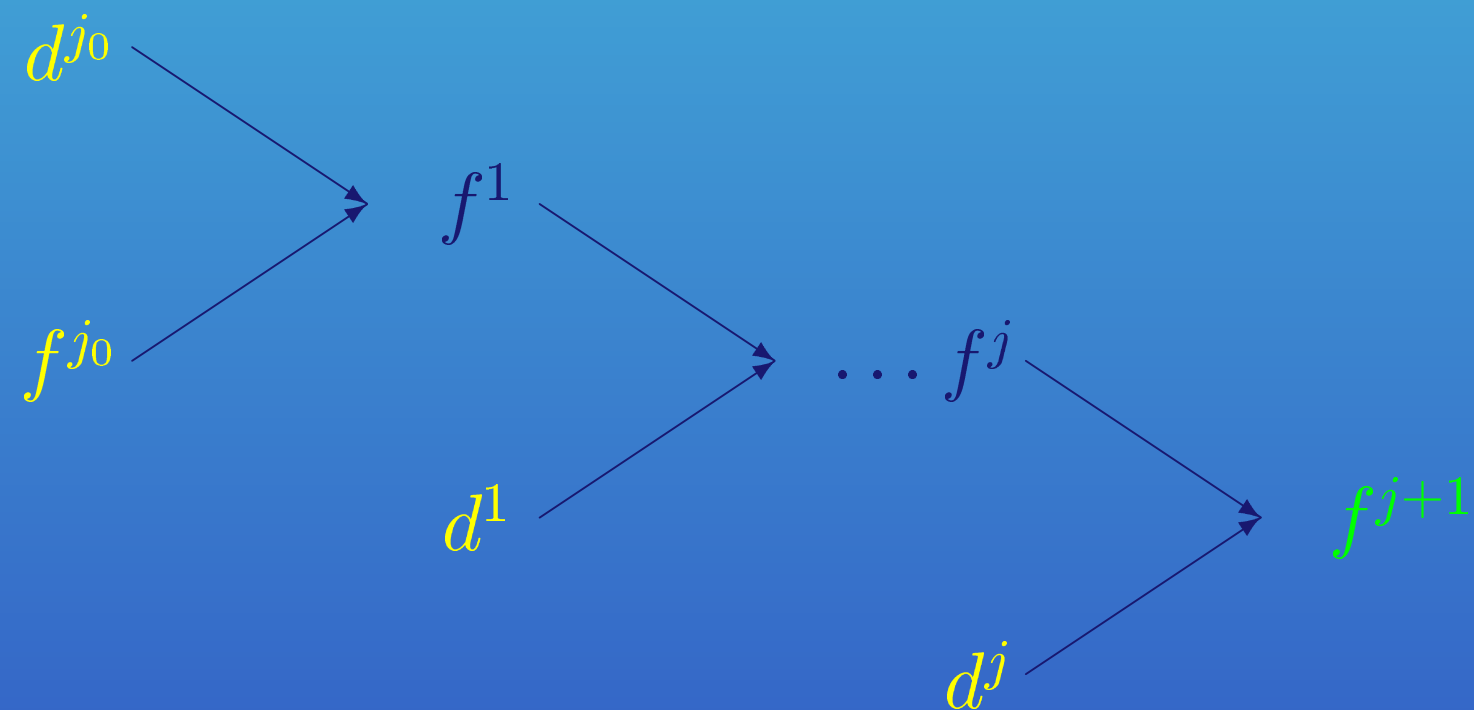
# Algoritmo de Análise

$$f^{j+1} \xrightarrow{WT} (f^{j_0}, d^{j_0}, \dots, d^j)$$



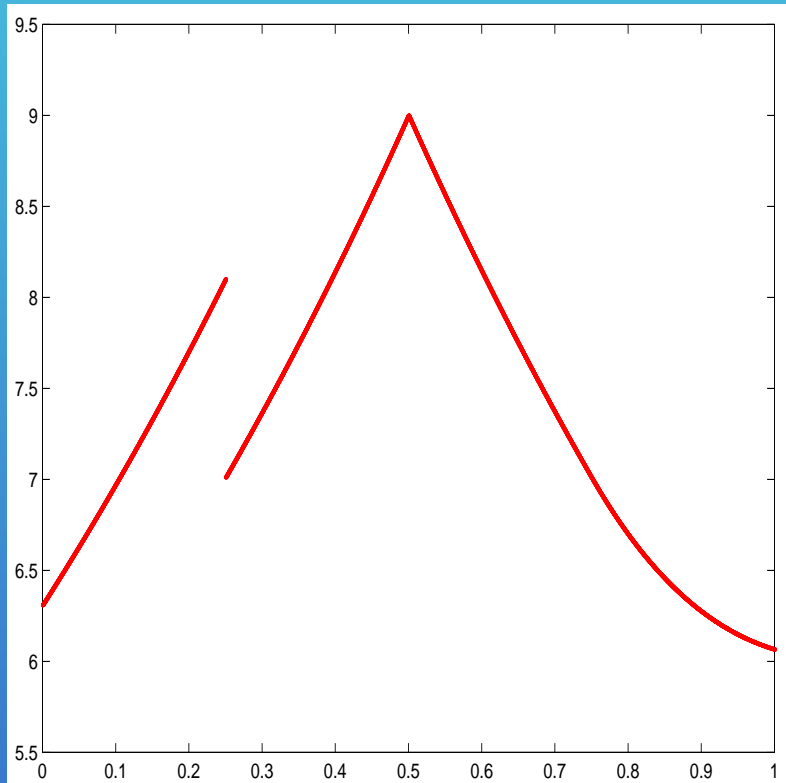
# Algoritmo de Síntese

$$(f^{j_0}, d^{j_0}, \dots, d^j) \xrightarrow{IWT} f^{j+1}$$

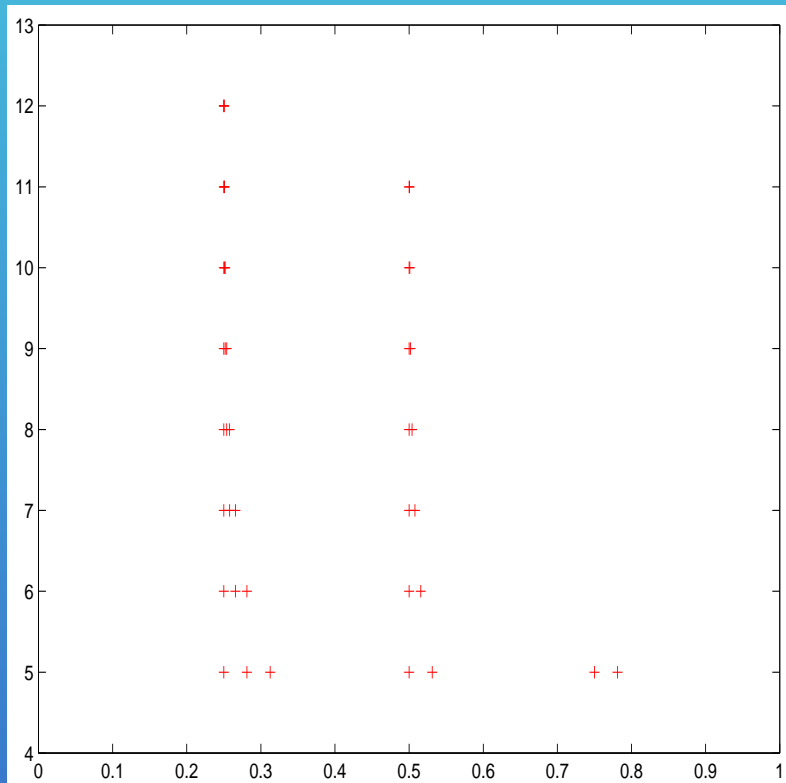


# Indicadores de regularidade local

$f(x)$



$|d_k^\ell| > 5 \times 10^{-4}$



# Algoritmo de Truncamento

- **Input:**  $f^{j+1}, \epsilon$

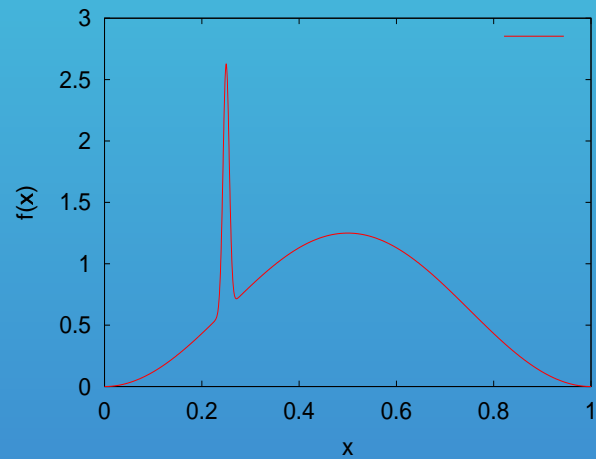
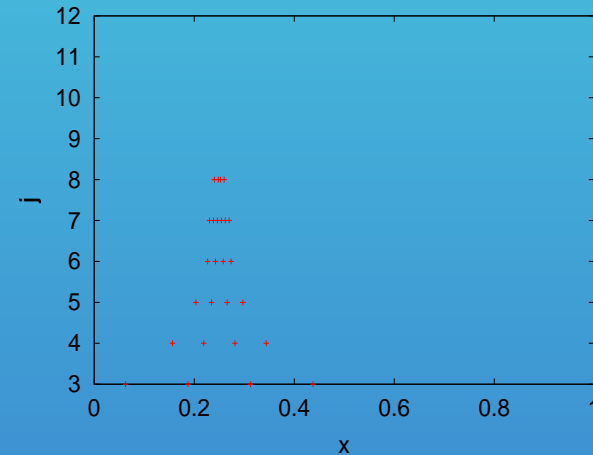
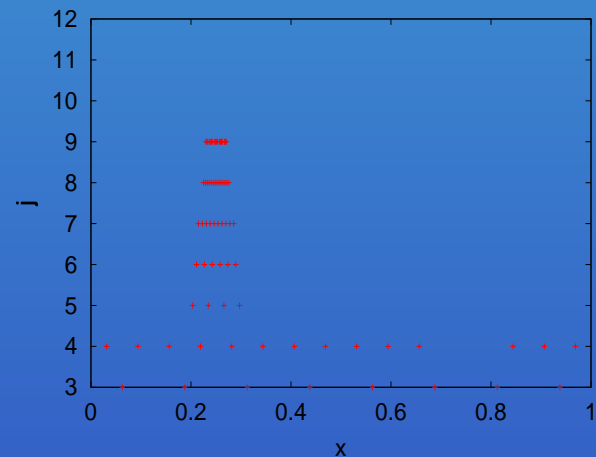
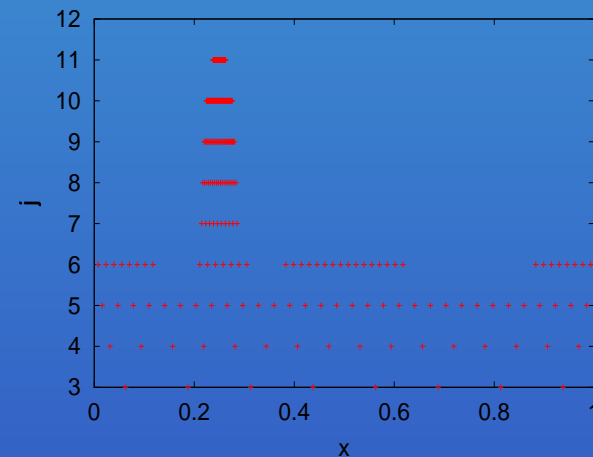
- **Passo 1: Análise**

$$f^{j+1} \xrightarrow{WT} f_{MR}^{j+1} = (f^{j_0}, d^{j_0}, \dots, d^j).$$

- **Passo 2: Truncamento**

$$d_{\epsilon,k}^\ell = \begin{cases} d_k^\ell & \text{se } |d_k^\ell| > \epsilon \\ 0 & \text{se } |d_k^\ell| \leq \epsilon \end{cases}$$

- **Output:**  $f_{\epsilon,MR}^{j+1} = (f^{j_0}, d_\epsilon^{j_0}, \dots, d_\epsilon^j).$

$f(x)$  $\epsilon = 10^{-2}$  $\epsilon = 10^{-4}$  $\epsilon = 10^{-6}$ 



No algoritmo de truncamento, os coeficientes wavelet  $d^\ell$  são substituídos por  $d_\epsilon^\ell$ , de tal forma que

$$\|d^\ell - d_\epsilon^\ell\| \leq \epsilon.$$



### Questão:

Após o algoritmo de síntese, a perturbação  $f^{j+1} - f_\epsilon^{j+1}$  fica da mesma ordem de  $\epsilon$  ?



### Resposta:

Sim, pois o agoritmo de refinamento é convergente

convergência  $\implies$  estabilidade

# Convergência do Esquema de Refinamento

## Aspecto Funcional

- ➊  $P_l^{l+1}$  – esquema de refinamento interpolante

- ➋  $s^j$  – conjunto inicial de dados
  - ⌍ Aplica-se iterativamente o esquema de refinamento

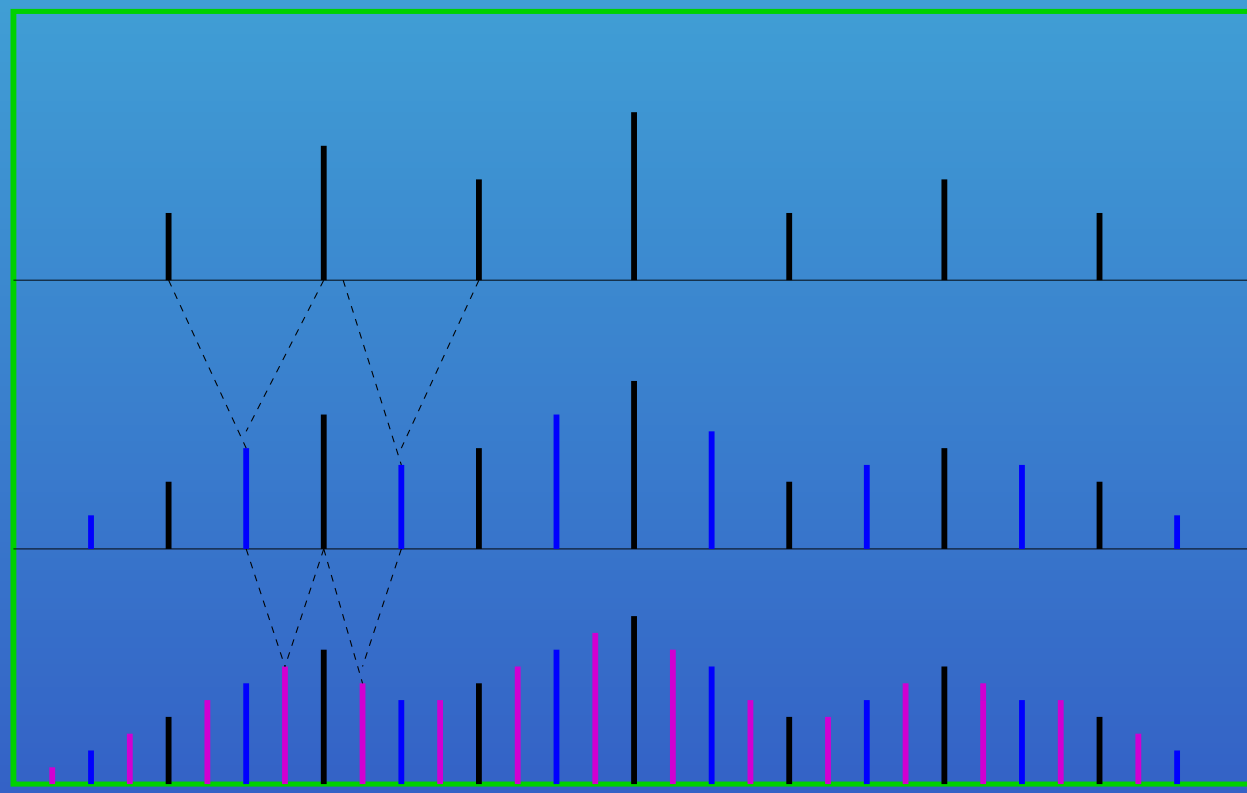
$$s^\ell = P_{\ell-1}^l s^{l-1}, \quad \ell > j$$

- ➋ Definição O esquema de refinamento é dito **convergente** se para todo  $s^j$  existe uma função contínua  $I^j(x; s^j)$  que coincide com  $s^\ell(k)$  nos pontos  $x_k^\ell \in X^\ell$ , para todo  $\ell \geq j$ . Isto é,

$$I^j(x_k^\ell; s^j) = s^\ell(k), \quad \ell \geq j,$$

# Exemplo: Interpolação linear

$$s^{\ell+1}(2k-1) = \frac{s^\ell(k-1) + s^\ell(k)}{2} = \tilde{f}_{2k-1}^{\ell+1}$$



 Espaços funcionais

$$V^j = \{g \in C[0, 1] : g \text{ é linear por partes em } X^j\}$$

 Base de  $V^j$ 

$\{\phi_k^j(x), k = 0, \dots, 2^j\}$  tal que  $\phi_k^j(x_m^j) = \delta_{km}$ .

 Operador de reconstrução interpolante

$$I^j(x; f^j) = \sum_{k=0}^{2^j} f_k^j \phi_k^j(x),$$

$I^j(x; f^j)$ : função de  $V^j$  que coincide com  $f^j$  no pontos de  $X^j$

- $V^j \subset V^{j+1}$

$$V^{j+1} = V^j + W^j$$

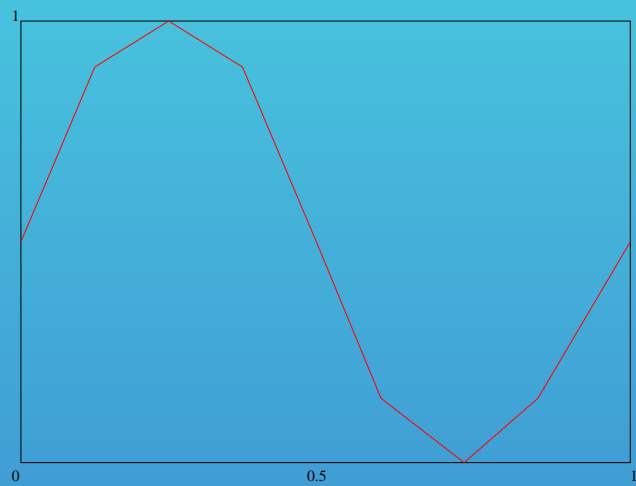
$$W^j = \{f \in V^{j+1} \mid f(x) = 0, \forall x \in X^j\}$$

- Base de  $W^j$

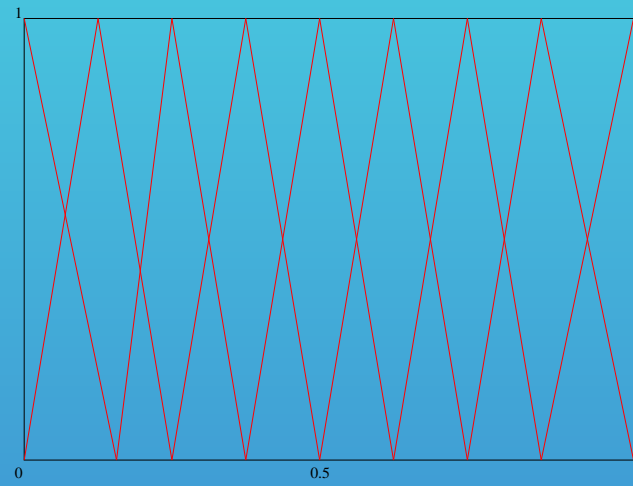
$$\psi_k^j(x) = \phi_{2k-1}^{j+1}(x), \quad k = 1, \dots, 2^j$$

$$\sum_{k=0}^{2^{j+1}} f_k^{j+1} \phi_k^{j+1}(x) = \sum_{j=0}^{2^j} f_k^j \phi_k^j(x) + \sum_{k=1}^{2^j} d_k^j \psi_k^j(x)$$

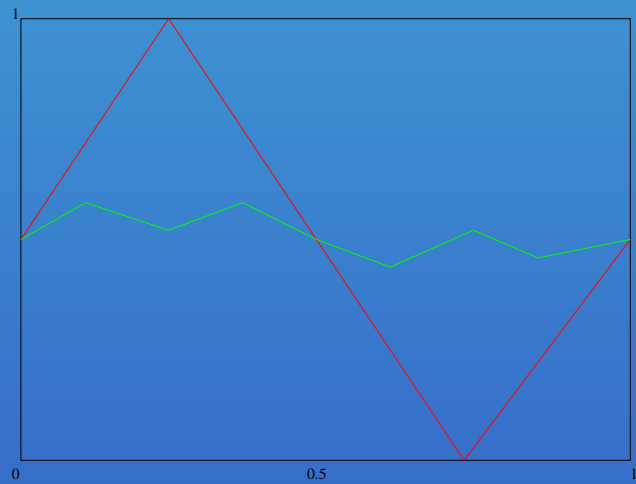
$I(x; f^3)$



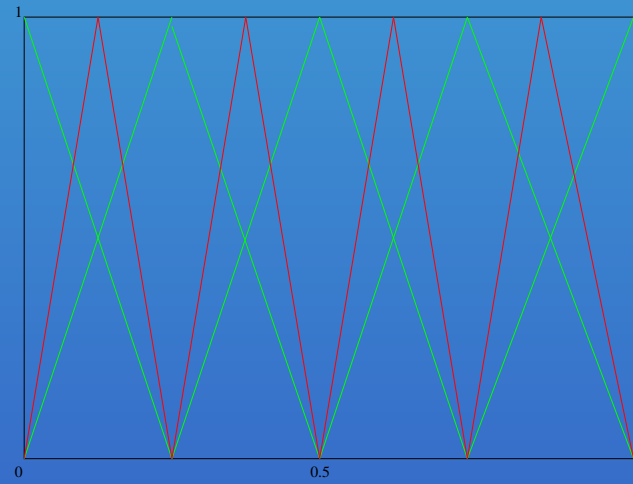
Base nodal de  $V^3$



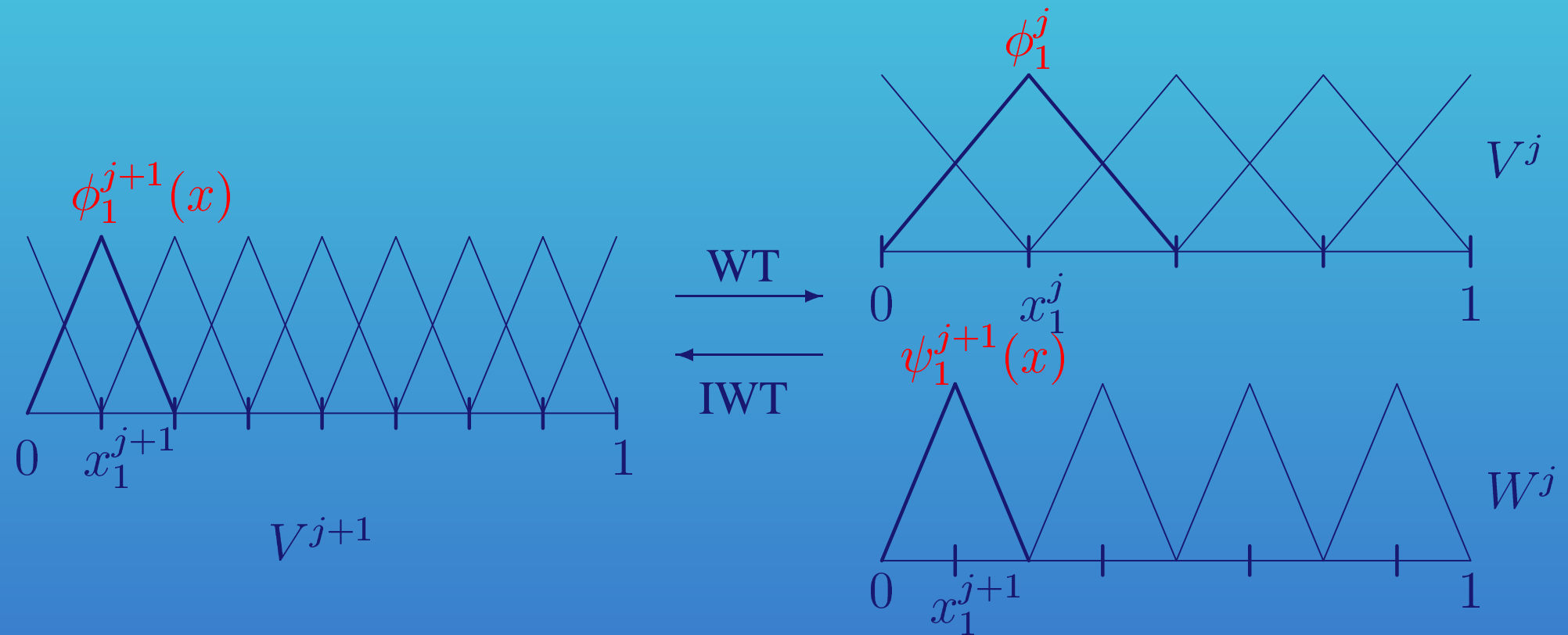
$I(x; f^2)$  e  $I(x; f^3) - I(x; f^2)$



Base hierárquica de  $V^3$



# Mudança de Base



Se  $j_0 < j$  é o nível menos refinado, obtém-se a representação em multinível

$$\sum_{k=0}^{2^{j+1}} f_k^{j+1} \phi_k^{j+1}(x) = \sum_{j=0}^{2^{j_0}} f_k^{j_0} \phi_k^{j_0}(x) + \sum_{l=j_0}^j \sum_{k=1}^{2^l} d_k^l \psi_k^l(x),$$

que corresponde à soma direta

$$V^{j+1} = V^{j_0} + W^{j_0} + \dots + W^j$$

# Esquemas de Ordem Superior

- $M$  – número par  $\geq 2$
- $\mu = x_{2k-1}^{\ell+1} \in X^{\ell+1} \setminus X^\ell$
- $\mathcal{S}(\mu) \subset X^\ell$  estêncil de interpolação
- $p$  é o polinômio de grau  $M - 1$  tal que

$$p(\nu) = s^\ell(m), \quad \nu = x_m^\ell \in \mathcal{S}(\mu)$$

Define-se  $s^{\ell+1} = P_\ell^{\ell+1} s^\ell$  tal que

$$s^{\ell+1}(2k-1) = p(\mu)$$

## Detalhamento

Caso 1:  $\mu$  próximo do extremo inferior de  $I$

$$0 < k \leq M/2 - 1$$

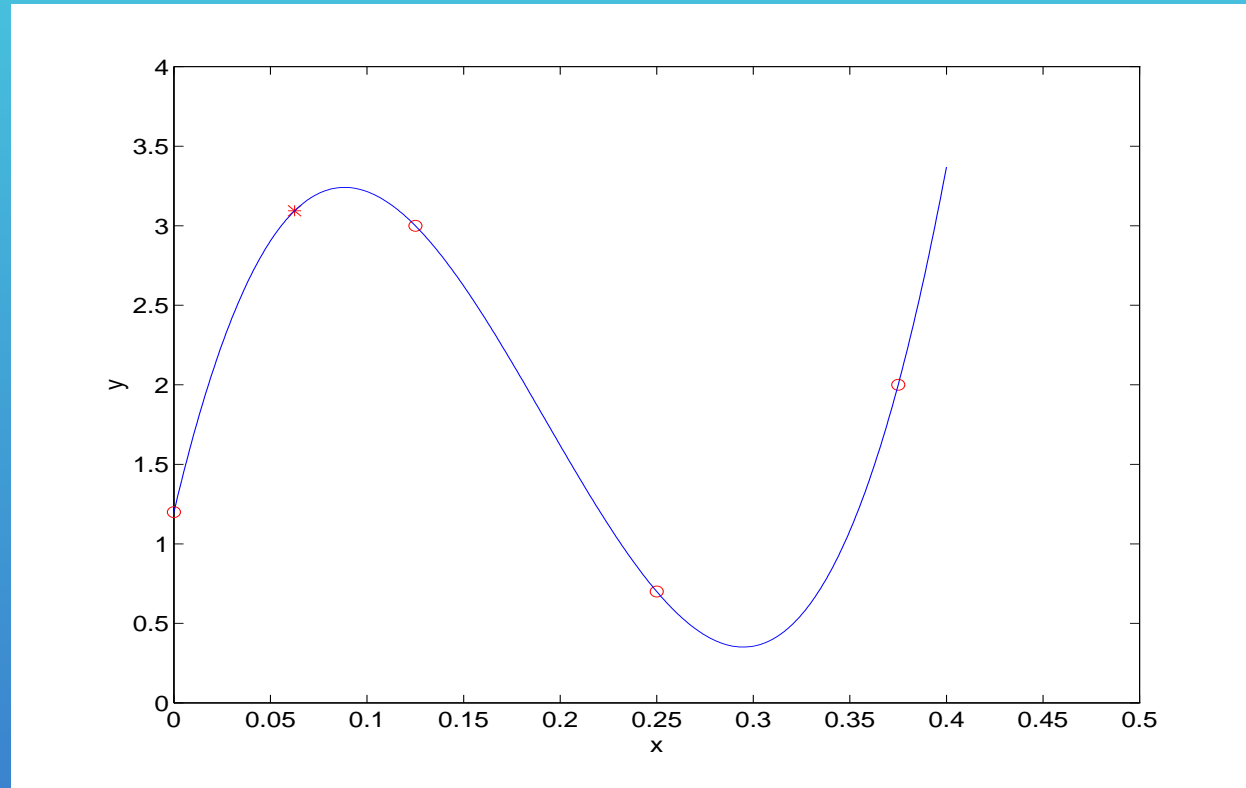
$$\mathcal{S}(\mu) = \{x_m^\ell = m2^{-\ell}, 0 \leq m \leq M - 1\}$$

$$p(\mu) = \sum_{m=0}^{M-1} s^\ell(m) c_{k,m}$$

em que

$$c_{k,m} = \prod_{n=0, n \neq m}^{M-1} \frac{2k - 2n - 1}{2m - 2n}.$$

# $\mu$ próximo do extremo



Caso 2:  $\mu$  no interior de  $I$

$$M/2 - 1 < k \leq 2^\ell - (M/2 - 1)$$

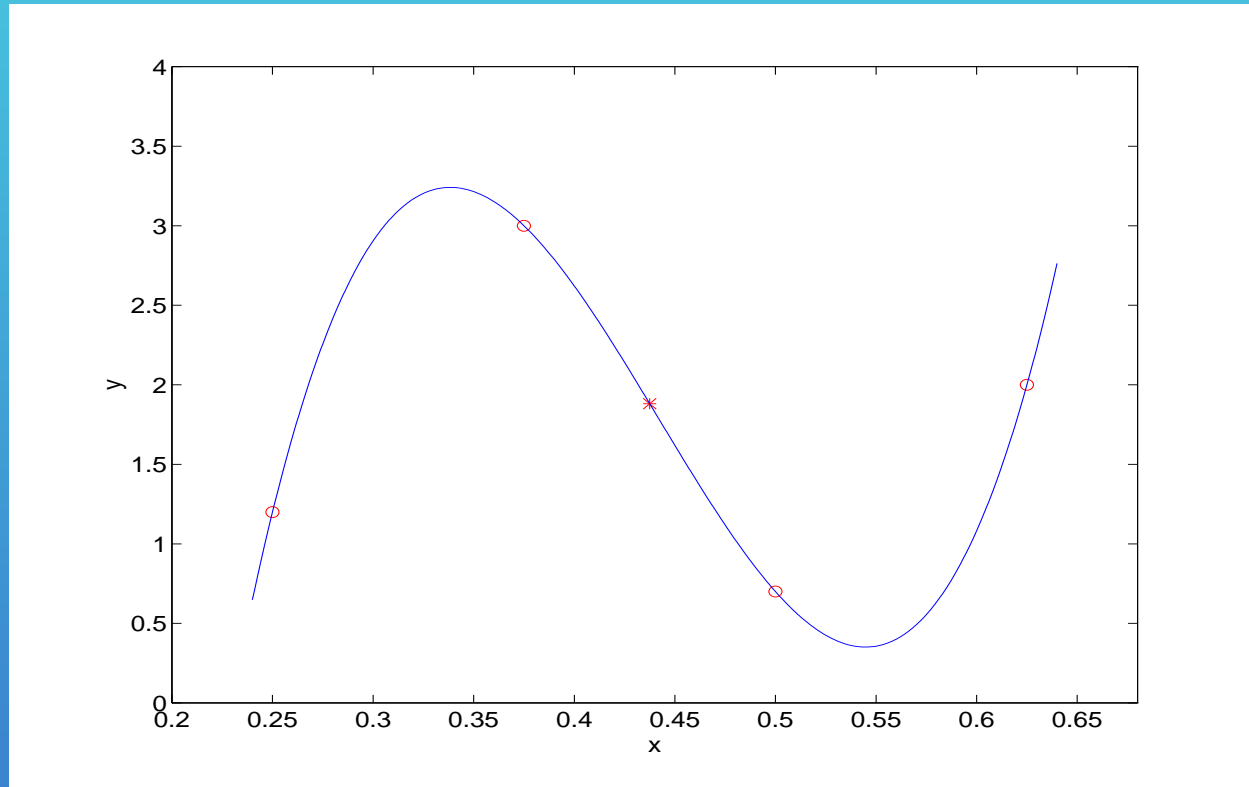
$$\mathcal{S}(\mu) = \{x_m^\ell = m2^{-\ell}, \quad k - M/2 \leq m \leq k + M/2 - 1\}$$

$$p(\mu) = \sum_{m=0}^{M/2-1} c_{k,m} (s^\ell(\ell+m) + s^\ell(\ell-m-1))$$

em que

$$c_{k,m} = \frac{1}{2^{M-1}} \prod_{n=-M/2, n \neq m}^{M/2-1} \frac{2n+1}{n-m}.$$

# $\mu$ no interior de $I$



Caso 3:  $\mu$  próximo a fronteira superior de  $I$

$$2^\ell - (M/2 - 1) < k \leq 2^\ell$$

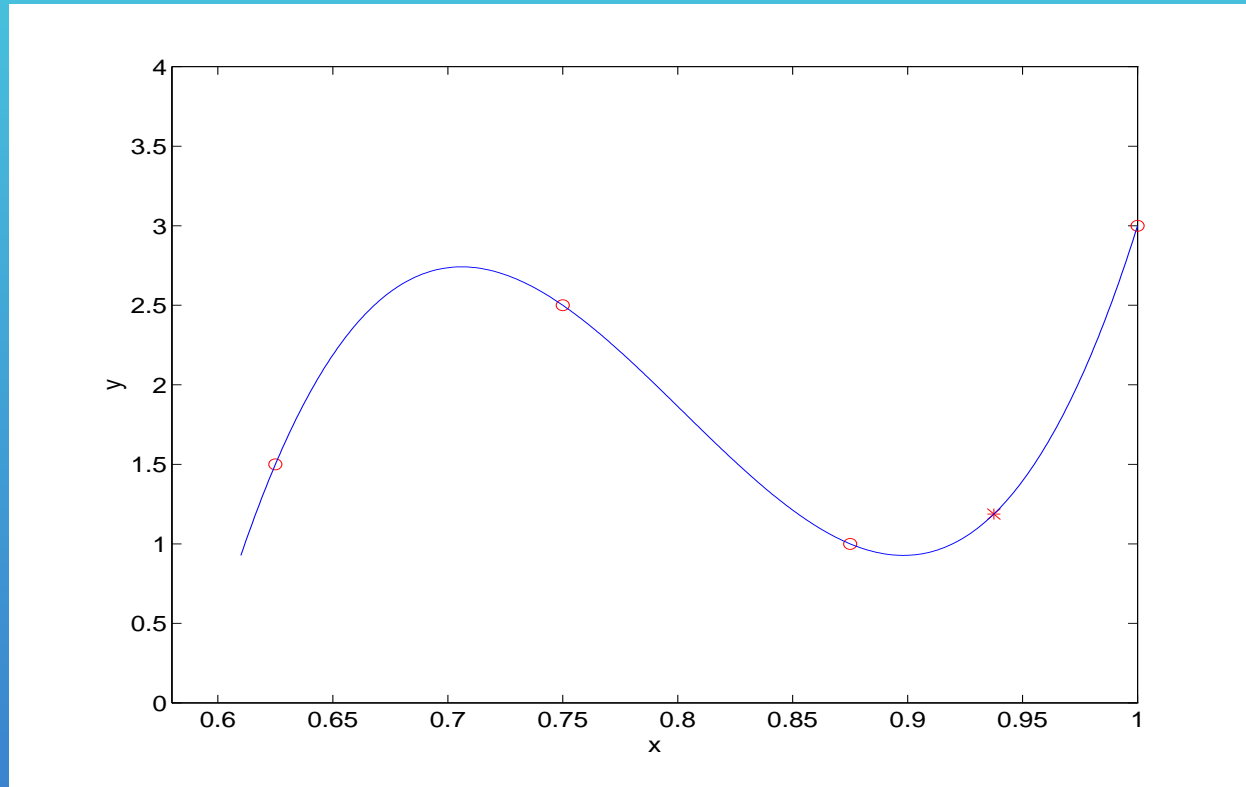
$$\mathcal{S}(\mu) = \{x_m^\ell = m2^{-\ell}, 2^\ell - (M - 1) \leq m \leq 2^\ell\},$$

$$p(\mu) = \sum_{m=2^\ell-M+1}^{2^\ell} s^\ell(m) c_{k,m}$$

em que

$$c_{k,m} = \prod_{n=2^l-M+1, n \neq m}^{2^l} \frac{2k - 2n - 1}{2m - 2n}.$$

# $\mu$ próximo a fronteira



# Observações

- Os coeficientes  $c_{k,m}$  não dependem do nível  $\ell$
- Longe dos extremos do intervalo,  $c_{k,m} = c_m$
- No extremo inferior os valores  $c_{k,m}$  são os mesmos do extremo superior com a ordem invertida.

Coeficientes de interpolação centrada

M	$c_0$	$c_1$	$c_2$
2	1/2		
4	9/16	-1/16	
6	150/256	-25/256	3/256

# Coeficientes de interpolação próximo da fronteira inferior

M	k	$c_{k,0}$	$c_{k,1}$	$c_{k,2}$	$c_{k,3}$	$c_{k,4}$	$c_{k,5}$
2	1	1/2					
4	1	5/16	15/16	-5/16	1/16		
6	1	63/256	315/256	-105/128	63/128	-45/256	7/256
	2	-7/256	105/256	105/128	-35/128	21/256	-3/256

## Teorema

O esquema de refinamento  $P_\ell^{\ell+1}$ , de qualquer ordem  $M$ , é convergente

- Espaços funcionais:  $V^j$

Funções contínuas  $I^j(x; f^j)$  geradas pelo esquema de refinamento a partir de  $f^j$

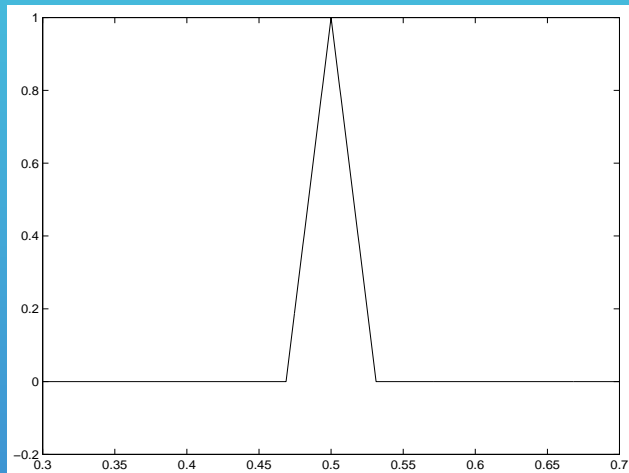
$$I^j(x; f^j) = \sum_{k=0}^{2^j} f_k^j \phi_k^j(x)$$

- Base de  $V^j$

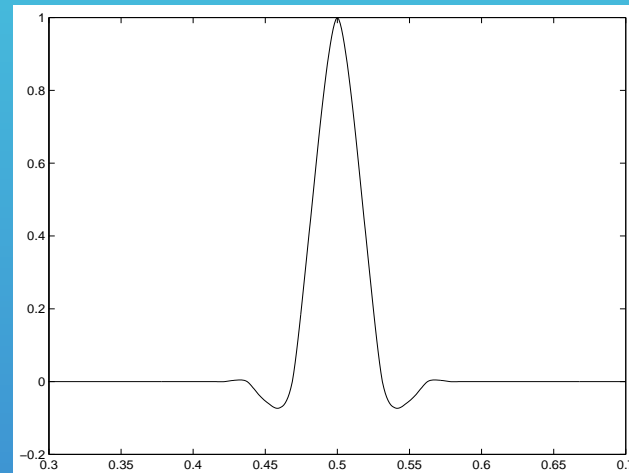
$\phi_k^j(x)$  funções nodais em  $X^j$

$$\phi_{\mu}^5 \ (\mu = 1/2)$$

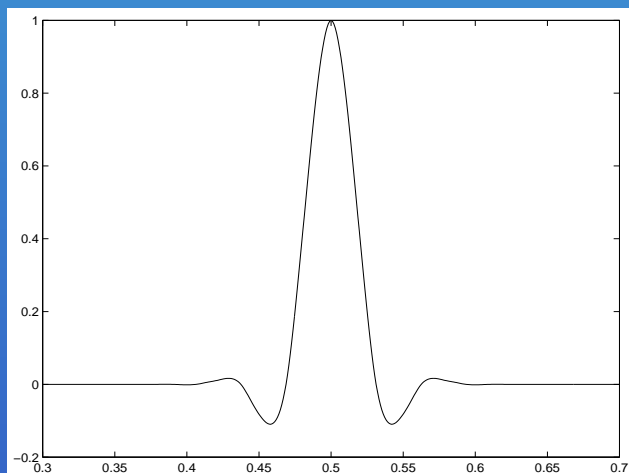
$$M = 2$$



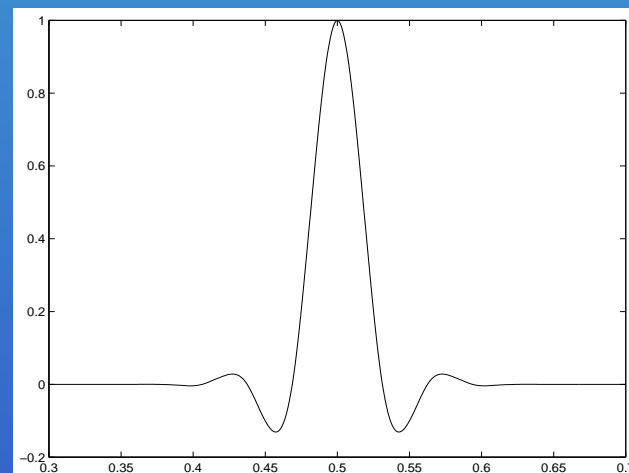
$$M = 4$$



$$M = 6$$

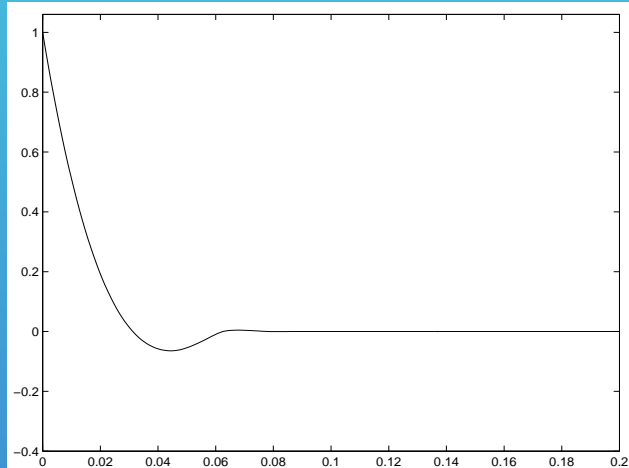


$$M = 8$$

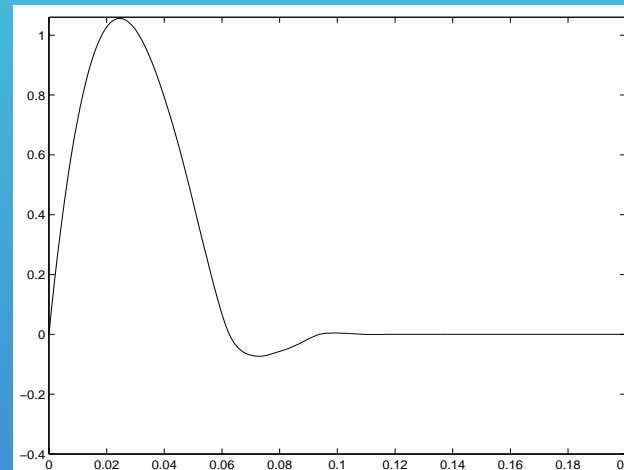


# $\phi_{\mu}^5$ (Interação com o extremo inferior do intervalo)

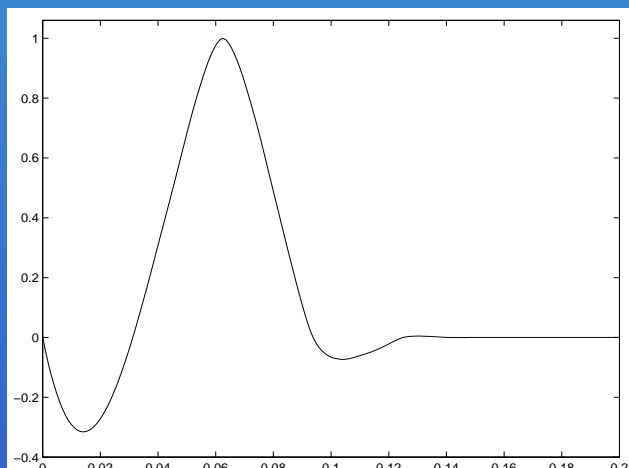
$$\mu = 0$$



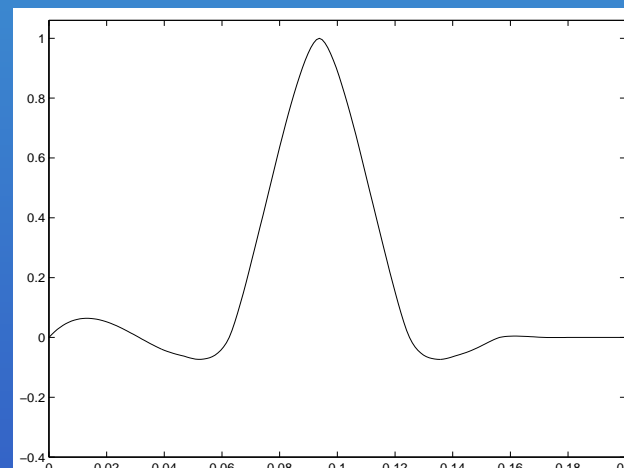
$$\mu = 1/2^5$$



$$\mu = 2/2^5$$



$$\mu = 3/2^5$$



# Estabilidade

- ➊ Perturbação  $d_{k,\epsilon}^\ell = d_k^\ell + \epsilon$

- ➋ Síntese  $(f^\ell, d_\epsilon^\ell) \rightarrow f_\epsilon^{\ell+1}$

$$e^{\ell+1} = f_\epsilon^{\ell+1} - f^{\ell+1}$$

$$e_{2k-1}^{\ell+1} = f_{\epsilon,2k-1}^{\ell+1} - f_{2k-1}^{\ell+1} = d_{\epsilon,k}^\ell - d_k^\ell = \epsilon$$

- ➌ Aplicando o esquema de refinamento, sucessivamente, existe o perigo de que a perturbação seja amplificada, descontroladamente?
- ➍ No caso do esquema de refinamento por interpolação polinomial de Lagrange isto não ocorre pois o esquema é convergente

$$\max_{x \in I} |I(x; e^{\ell+1})| \leq C\epsilon$$

# Conclusões

- ➊ Uma AMR interpolante, de qualquer ordem, pode ser definida, com algoritmos eficientes
- ➋ Os coeficientes wavelet são erros de interpolação e podem ser usados como indicadores locais de regularidade.
- ➌ AMR interpolante permite a compressão de dados: descartando os coeficientes wavelet de pouca significância, resulta uma representação em uma malha adaptativa .
- ➍ As malhas adaptativas são refinadas em regiões de singularidade e esparsas em regiões de suavidade.
- ➎ Os algoritmos de análise e síntese são estáveis e podem ser interpretados como mudança entre bases nodais e bases em multinível (hierárquicas).

# Mais informações...

- ➊ <http://www.wavelet.org>
- ➋ <http://www.ime.unicamp.br/~soniag/papers.html>
- ➌ <http://www.mathsoft.com/wavelets.html>
- ➍ <http://www-stat.stanford.edu/~wavelab>
- ➎ ...

# Agradecimentos

As autoras agradecem:

- O apoio concedido por:
  - **SBMAC**
  - **Fundunesp**
  - **CNPq**
- A todos os que contribuem no desenvolvimento e divulgação de programas de livre distribuição e código aberto, em especial, à GNU FreeSoftware Foundation e aos participantes dos projetos **GNU/Linux**, **GNU/gcc**, **L<sup>A</sup>T<sub>E</sub>X** e **Prosper**